

С 343е

"IX-69

D-361
ОБЪЕДИНЕННЫЙ
ИНСТИТУТ
ЯДЕРНЫХ
ИССЛЕДОВАНИЙ

Дубна



P7 - 4538

Ю.Ц.Оганесян, Ю.Э.Пенионжкевич, А.О.Шамсутдинов,
Н.С.Мальцева, И.И.Чубуркова, З.Щегловский

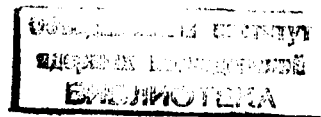
ВОЗМОЖНОСТИ СИНТЕЗА ИЗОТОПОВ
В РЕАКЦИЯХ ДЕЛЕНИЯ

P7 - 4538

24.9.47 / 1 №р.
Ю.Ц.Оганесян, Ю.Э.Пенионжкевич, А.О.Шамсутдинов,
Н.С.Мальцева, И.И.Чубуркова, З.Щегловский

ВОЗМОЖНОСТИ СИНТЕЗА ИЗОТОПОВ
В РЕАКЦИЯХ ДЕЛЕНИЯ

Направлено в АЭ



Исследователи ядерных свойств материи в последние годы большее внимание уделяют способам получения ядер, находящихся далеко от полосы стабильности. Некоторые представления о том, насколько далеко удалось продвинуться от линии стабильности и каковы принципиальные возможности дальнейшего синтеза изотопов, дает рис. 1. На этом рисунке представлена карта известных изотопов. Черные точки соответствуют стабильным ядрам ($T_{1/2} \geq 10^{18}$ лет). Сплошная линия ограничивает области известных изотопов, синтезированных в различных ядерных реакциях. Пунктирной линией показаны формальные границы стабильности ($B_n = 0$, $B_p = 0$), полученные путем теоретических экстраполяций. Видно, что число известных изотопов далеко не полностью исчерпывает принципиальные возможности синтеза. Естественно, что по мере удаления от области стабильности время жизни изотопов будет быстро уменьшаться. Тем не менее трудности в исследовании этих ядер связаны не столько со сложностью их идентификации и изу-

чения свойств (современная экспериментальная техника обладает большими возможностями по экспрессности выделения и скорости регистрации), сколько с ограниченностью самих методов синтеза далеких от области стабильности изотопов.

С другой стороны, число ядерных реакций чрезвычайно велико, и часто для конкретного ядра можно указать много возможных способов его получения. Подробный анализ различных способов получения нейтроноизбыточных и нейtronодефицитных изотопов был проведен в работах /1,2,3,4/.

На основании этих работ, а также других литературных данных можно провести сравнение применимости тех или иных ядерных реакций для синтеза изотопов различных элементов.

В области ядер с $Z < 25$ наиболее эффективным методом синтеза изотопов являются реакции слияния с легкими частицами типа (p, xn) (α, xn). Этот тип реакций имеет относительно большие сечения и ряд преимуществ, связанных с простотой идентификации полученных изотопов. Ввиду того, что возбуждение ядра снимается, в основном, посредством вылета нейронов, эти реакции оказываются весьма удобными для получения нейtronодефицитных изотопов. Однако с дальнейшим ростом Z для получения изотопов с большим дефицитом нейронов предпочтительнее реакции с тяжелыми ионами, идущие также через составное ядро. В этом случае можно получать изотопы, отстоящие, например в области $Z = 65-85$, на 20-25 массовых единиц от стабильного ядра /5/.

Однако с ростом энергии и массы бомбардирующего иона сечение образования составного ядра заметно уменьшается из-за конкуренции со стороны прямых реакций, что является определенным ограничением в дальнейшем продвижении в сторону нейtronодефицитных ядер. В области тяжелых ядер с $Z > 75$ с процессом испарения нейронов начинает сильно конкурировать деление, и это приводит к резкому уменьшению сечения.

Синтез нейтроноизбыточных изотопов, отстоящих далеко от области стабильности, оказывается более трудным. В области легких ядер ($Z = 25-30$) наиболее эффективным методом являются $(p, 2p)$ -реакции и реакции скальвания (spallation). Избыток нейронов здесь составляет 5-7 массовых единиц.

Область ядер с $Z = 35$ до $Z = 55$ соответствует осколкам деления ^{235}U тепловыми нейронами, и известное продвижение в сторону нейтроноизбыточных изотопов в указанной области ядер обусловлено использованием этой реакции. Из-за большого сечения деления ^{236}U тепловыми нейронами можно получать изотопы с избытком нейронов до 15 массовых единиц. В области же $Z > 65$ вероятность образования осколков резко уменьшается (граница массового распределения), в связи с чем единственными способами получения нейтроноизбыточных изотопов являлись до последнего времени $(p, 2p)$ -реакции и деление

^{238}U быстрыми протонами, хотя наибольшее сечение последней реакции и наибольшая массовая дисперсия изотопов соответствуют диапазону $45 < Z < 65$, однако, как было показано выше, в этой области

Z нейтроноизбыточные ядра с большой вероятностью получаются в реакции деления тяжелых ядер тепловыми нейронами. При $Z > 80$ сечение деления и массовая дисперсия (p, f) -реакции падает. Это приводит к тому, что уже при $Z \approx 85$ максимальное продвижение в сторону нейтронного избытка составляет всего 7-10 единиц. А для $Z > 75$ нейтроноизбыточные ядра можно получать только в реакциях скальвания, если не считать реакций деления, о которых речь пойдет ниже. Избыток нейронов при этом составляет всего 5-6 массовых единиц.

Рассмотрим теперь с точки зрения возможности получения нейtronодефицитных и нейтроноизбыточных изотопов реакции обменного типа. Очевидно, что использование легких частиц не дает больших возможностей для синтеза изотопов, далеких от линии стабильности, с помощью

таких реакций, т.к. дисперсия продуктов по заряду и массе определяется количеством нуклонов, участвующих в реакции, которое в данном случае мало. Для тяжелых ионов положение существенно меняется, т.к. при взаимодействии двух сложных ядер возможен обмен большим комплексом нуклонов. Экспериментально установлено, что уже с ускоренными ионами 22 № сечения реакций многонуклонных передач (передача или срыв 10-15 нуклонов) оказываются достаточно высокими. Однако с точки зрения получения далеких от линий стабильности изотопов интерес представляет не полная массовая дисперсия, а соотношение протонов и нейтронов в передаваемом комплексе нуклонов. Сравнение экспериментальных данных по этим реакциям с другими методами синтеза нейтронодефицитных и нейтронизбыточных изотопов показывает, что реакции многонуклонных передач под действием ускоренных частиц с массой $A \leq 40$ не являются конкурентоспособными.

Как было показано выше, ядра с большим избытком нейтронов можно получать в реакциях деления. Уже первые опыты по изучению массовых и зарядовых распределений осколков при делении 235 U тепловыми нейtronами показали, что эта реакция может быть успешно использована для синтеза нейтронизбыточных изотопов. Реакция имеет большое сечение, наиболее вероятная масса осколков соответствует нейтронизбыточному изотопу, и дисперсия по массе относительно наиболее вероятного значения оказывается достаточно большой. Естественно, что деление может быть использовано для синтеза изотопов в области масс ядер, ограниченной массовым распределением осколков (примерно от $A = 75$ до $A = 155$).

Этот диапазон масс практически сохраняется при делении других ядер тепловыми нейтронами, т.к. в качестве материала мишени могут быть выбраны лишь элементы от урана до калифорния. Увеличение энергии возбуждения делящегося ядра в реакции с дейtronами и α -част-

тицами не дает заметного выигрыша как в полном массовом распределении, так и в зарядовой дисперсии осколков деления.

Однако при делении сильновозбужденных ядер с $Z/A^2 > 40$, как показано в работах ^{6,7}, массовое распределение осколков деления существенно расширяется и массовая дисперсия оказывается значительно большей, чем это имеет место в области $55 > Z > 35$. При делении возбужденного ядра $^{278} 110$ (полученного в реакции слияния ионов $^{40} Ar$ с ядром $^{238} U$) можно с относительно большим сечением, как было показано в работе ⁸, получать в качестве осколков деления такие тяжелые ядра, как астатин и полоний, которые соответствуют асимметричному делению с отношением масс осколков $A_1/A_2 = 3,5-4$.

В общем виде сечение образования данного изотопа в качестве осколка деления может быть представлено как

$$\sigma(A_f, Z_f) = 2\sigma_0 \cdot P(A'_f) W(Z_f - Z_p(A'_f)) V_{xn} \left(E_f^* \right) \prod_{i=1}^x \frac{\Gamma_{n_i}}{\Gamma}. \quad (1)$$

Здесь σ_0 – сечение образования составного ядра с энергией возбуждения E_f^* ; A_f и A'_f – масса осколка до и после испарения X -нейтронов; $P(A'_f)$ – вероятность образования массы A'_f , которая может быть получена из данных по массовому распределению осколков деления ⁶; $W(Z_f - Z_p)$ – распределение, определяющее вероятность выхода различных изобар с массой A'_f , полученное из данных по зарядовому распределению осколков ⁷; $V_{xn} \prod_{i=1}^x \frac{\Gamma_{n_i}}{\Gamma}$ определяет вероятность распада возбужденного осколка с массой A'_f и энергией возбуждения E_f^* , посредством испарения X -нейтронов.

Для всех комбинаций мишень-частица в случае использования тяжелых ионов до ионов с массой 40 все члены, входящие в формулу (1), хорошо определены. Это позволяет достаточно точно рассчитать сечение образования изотопов, полученных при делении возбужденных ядер.

В данной работе были исследованы закономерности образования различных изотопов при делении ядер тяжелыми ионами. С этой целью были изучены реакции: $^{238}\text{U}(^{12}\text{C}, f)$; $^{238}\text{U}(^{20}\text{Ne}, f)$; $^{238}\text{U}(^{22}\text{Ne}, f)$; $^{238}\text{U}(^{40}\text{Ar}, f)$, которые сравнивались с реакциями деления ядер высокогенергичными протонами и с реакциями скальвания.

Опыты проводились на внутреннем пучке 310-сантиметрового циклотрона тяжелых ионов Лаборатории ядерных реакций и на выведенном пучке протонов синхроциклона Лаборатории ядерных проблем ОИЯИ.

Постановка эксперимента и химическое выделение элементов

Ионами ^{12}C , ^{20}Ne , ^{22}Ne и ^{40}Ar производилось облучение урановых и висмутовой мишени. Интенсивность пучка ионов составляла $\approx 80\text{-}100$ мка для ^{12}C , ≈ 30 мка для ^{22}Ne и ≈ 8 мка для ^{40}Ar . Для изменения энергии частиц мишень помещалась на различные радиусы ускорения.

В ряде случаев изучались реакции под действием протонов с интенсивностью $\approx 0,2$ мка, ускоренных до энергии 660 Мэв.

Методика приготовления мишеней, которые облучались тяжелыми ионами, была следующей.

На массивную медную подложку, охлаждаемую водой, электролизом осаждался слой меди толщиной ≈ 20 мк, на который наносилось вещество мишени. Слой меди служил сборником осколков деления. В качестве урановой мишени использовался слой оксида урана (U_3O_8) толщиной

2-10 $\frac{\text{мг}}{\text{см}^2}$.

После облучения вещество мишени вместе с медным сборником растворялись в концентрированной азотной кислоте. В раствор добавлял-

ся носитель выделяемого элемента. В зависимости от того, какой элемент выделялся, применялись различные химические методы разделения, которые заключались в следующем.

Редкоземельные элементы выделялись совместно с фторидом лантана из 5 М азотной кислоты. Фториды растворялись в смеси азотной и борной кислот, переосаждались в виде гидроокисей, и вновь осаждался фторид лантана. В некоторых случаях производилось разделение редкоземельных элементов электромиграционным методом ^{/9/}.

Молибден экстрагировался из 10 М соляной кислоты *a*-бензоилоксимом в этилацетате. Экстракция молибдена и реэкстракция его 4 М раствором аммиака проводились дважды. Окончательно молибден выделялся в виде молибдата свинца.

Теллур восстанавливается до элементарного состояния в солянокислом растворе сернистым газом. Элементарный теллур растворялся в концентрированной соляной кислоте при пропускании хлора. Затем теллур сорбировался на ионообменной колонке с анионитом Дауэкс-1 \times 8, где производилась дополнительная очистка от других продуктов ядерных реакций, в частности селена. Элюировали теллур 1М соляной кислотой, после чего он вновь восстанавливался до металла.

Иод экстрагировался четыреххлористым углеродом после окисления его до элементарного состояния нитратом натрия из 6М солянокислого раствора. Двукратная экстракция иода и реэкстракция его в 0,01М растворе NaHSO_3 обеспечивают достаточную радиохимическую чистоту. Окончательно иод выделялся в виде AgI .

Цезий осаждался из концентрированного солянокислого раствора с кремниевольфрамовой кислотой. После растворения осадка производилась экстракция цезия тетрафенилборатом в нитробензол.

Барий осаждался в виде сульфата (BaSO_4), который переводился в карбонат. После двукратного переосаждения хлорида бария из

солянокислого раствора барий вновь осаждался в виде BaSO_4 .

Золото выделялось восстановлением его до элементарного состояния нитратом натрия. Двукратное переосаждение нитратом натрия после растворения его в смеси соляной и азотной кислот дает достаточную чистоту продукта.

После выделения элементов измерялась γ -радиоактивность их изотопов. Измерение производилось с помощью двух $\text{Ge}(\text{Li})$ γ -спектрометров в сочетании с 4096-канальными амплитудными анализаторами^{/11/}. Эффективность регистрации обоих спектрометров показана на рис. 2. Энергетическое разрешение фотопика для γ -лучей в энергетическом интервале от 80 до 2000 кэВ было примерно одинаковым и составляло ≈ 4 кэВ. В качестве примера на рис. 3 показан спектр изотопов иода, образующихся в реакции $^{238}\text{U}(\text{Ne}, \text{f})$, измеренный с помощью $\text{Ge}(\text{Li})$ γ -спектрометра.

Интенсивность γ -переходов определялась по площади фотопика с учетом временных поправок на облучение, химическое выделение и измерение^{/10/} и по эффективности γ -спектрометра (рис. 2). Идентификация изотопов производилась по энергии их γ -квантов, периоду полураспада и соотношениям интенсивностей γ -переходов. Относительный выход того или иного изотопа определялся из интенсивности его γ -перехода с учетом выхода γ -лучей на один акт распада радиоактивного ядра^{/12/}. Погрешность в определении относительных выходов изотопов составляла $\approx 15\%$.

Окончательный результат представлялся в виде изотопных распределений. Изотопные распределения элемента с числом протонов Z_f , как показано в работе^{/7/}, хорошо описываются с помощью функции Гаусса в виде

$$W_{Z_f}(A_f - A_p) = P(A_f) \frac{1}{(\pi \sigma_A^2)^{1/2}} \exp - \frac{(A_f - A_p)^2}{\sigma_A^2},$$

где $P(A_f)$ — массовое распределение осколков деления, взятое из работы^{/6/}; σ_A^2 — параметр ширины изотопного распределения; A_p — наиболее вероятная масса при данном Z_f , которое определяется из условия $Z_p(A_p) = Z_f$.

Наиболее вероятный заряд для данной массы $Z_p(A_f)$ находится из гипотезы равного смещения зарядов, согласно которой

$$Z_p = \frac{Z_c}{2} + \frac{Z_{A_f} - Z_{A_f}^*}{2}.$$

Здесь Z_c — заряд компаунд-ядра; Z_{A_f} и $Z_{A_f}^*$ — заряды наиболее β -стабильных ядер для масс легкого и тяжелого осколка соответственно, которые рассчитываются с помощью формулы Вайцеккера^{/13/} в варианте Грина

$$Z_A = \frac{\alpha_4}{2(\frac{\alpha_3}{A^{1/3}} + \frac{\alpha_4}{A})},$$

где $\alpha_4 = 100$, $\alpha_3 = 0,750$.

В связи с тем, что выходы осколков в большинстве случаев были кумулятивными, а интерес для изучения представляли лишь выходы первоначально образовавшихся ядер, вводилась соответствующая поправка на кумулятивность, которая рассчитывалась с помощью зарядового распределения осколков, имеющего вид:

$$W_{A_f}(Z_f - Z_p) = \frac{1}{(\pi \sigma_Z^2)^{1/2}} \exp - \frac{(Z_f - Z_p)^2}{\sigma_Z^2}.$$

Параметр ширины зарядового распределения σ_Z^2 был связан с параметром ширины изотопного распределения^{*} σ_A^2 соотношением

$$\sigma_A^2 = \sigma_Z^2 \left[\frac{\partial Z_p}{\partial A_f} \right]_{A_f=A_p}^{-2}.$$

Поправки рассчитывались с помощью вычислительной машины для разных значений σ_z^2 в зависимости от $(Z - Z_p)$ и показаны на рис. 4.

Поправки на кумулятивность для изотопов J , образованных в реакции деления тяжелых ядер протонами, брались из работы /14/. С учетом этих поправок строилось распределение выходов изотопов одного и того же элемента до испарения нейтронов.

Экспериментальные результаты

В табл. 1 представлены изотопы, полученные в данной работе, и сечение их образования в различных реакциях. Точность в определении независимых выходов изотопов $\approx 15\%$.

На рис. 5 представлены изотопные распределения иода для реакций деления урана протонами и ионами неона. Выбор этого элемента обусловлен тем, что большинство изотопов иода известно и обладает удобными для идентификации радиоактивными свойствами. Изотопные распределение иода, получаемого в реакции $^{139}\text{La}(\text{P}, \text{spallation})$, брались из работы /14/. Здесь же для сравнения дано изотопное распределение иода для реакции $^{133}\text{Cs}(^{22}\text{Ne}, -2\text{p}, \text{xn})\text{J}$. Из рисунка видно, что для получения сильно нейтронизбыточных изотопов иода могут быть использованы лишь реакции деления. Несмотря на то, что получение иода ($Z=53$) соответствует наиболее оптимальному случаю реакции $^{238}\text{U}(\text{p}, \text{f})\text{J}$, деление возбужденного ядра $^{260}\text{102}$ позволяет синтезировать нейтронизбыточные изотопы практически с тем же сечением. Дисперсия по массам изотопов иода, получаемых в этих двух реакциях, также почти одинакова.

На рис. 6 показаны изотопные распределения иода, полученные в реакции деления урана различными тяжелыми ионами ^{12}C , ^{22}Ne и

^{40}Ar . Видно, что ширина изотопных распределений с ростом массы иона значительно увеличивается.

На рис. 7 даются изотопные распределения редкоземельных элементов для разных энергий налетающего иона. Ширина изотопных распределений в этом случае незначительно увеличивается с увеличением энергии бомбардирующей частицы. На рис. 8 показаны изотопные распределения иода, образованные в реакции $\text{U}(\text{p}, \text{f})\text{J}$ и $\text{La}(\text{p}, \text{spall})\text{J}$ для двух энергий протонов – 600 Мэв и 18 Гэв. Данные взяты из работы /14/.

С целью изучения возможностей образования изомеров в реакциях деления были определены выходы известных изотопов и изомеров теллура, образующихся в реакции $^{238}\text{U}(^{22}\text{Ne}, \text{f})\text{Te}$, и построено изотопное распределение, представленное на рис. 9. В распределении присутствуют почти все известные изомеры теллура. В случае деления спектры начальных состояний осколков, близких по массе, оказываются практически одинаковыми, а закономерность образования осколков разной массы хорошо определена. Это дает возможность находить изомерное отношение даже в том случае, если вероятность образования ядер в основном состоянии в силу каких-либо причин не может быть измерена. Изомерные отношения для различных изотопов теллура, полученных в данной работе при делении ^{238}U ионами ^{22}Ne и протонами с энергией 600 Мэв, приведены в табл. 2. Из сравнения данных видно, что в большинстве случаев вероятность образования изомеров в осколках при делении тяжелыми ионами оказывается значительно большей по сравнению с тем, что наблюдается при делении быстрыми протонами. Этот факт объясняется тем, что составное ядро, образующееся при бомбардировке ядер тяжелыми ионами, обладает довольно большим средним угловым моментом ($\bar{J}_0 = 50-60 \hbar$). Оценки показывают, что при делении средний угловой момент осколков может достигать значения $20-30 \hbar$. Кроме этого, осколки образуются с большой энергией

возбуждения. Переход возбужденных осколков в основное состояние происходит путем испарения нейтронов, которые незначительно понижают начальный угловой момент осколка, и последующим каскадным у-излучением. Ввиду того, что угловой момент ядра после испускания последнего нейтрона оказывается относительно высоким, будет очевидно, происходит с повышенной вероятностью заселение уровней ядер с высоким спином, что может привести к увеличению вероятности образования ядер в изомерных состояниях.

Выше было показано, что уже в случае деления ядер урана ионами ^{22}Ne можно получать изотопы различных элементов с относительно большим избытком нейтронов. Для изотопов в области $50 \leq Z \leq 85$ нейтронообогащенные изотопы, отстоящие от стабильного ядра на 10 массовых единиц, образуются с достаточно большим сечением 0,1–0,3 миллибарн. С дальнейшим увеличением Z осколка сечение образования нейтроноизбыточных изотопов будет уменьшаться из-за уменьшения массового выхода и зависимости массовой дисперсии от асимметрии деления ⁷⁷. Однако, если в качестве бомбардирующих частиц используются более тяжелые ионы ($A > 40$) , то положение существенно улучшается ввиду того, что с ростом массы составного ядра массовое распределение осколков деления смещается в сторону более тяжелых ядер и с ростом Z^2/A заметно увеличивается ширина изотопных распределений. На рис. 10 представлены изотопные распределения золота ($Z = 79$), полученные при делении ^{238}U ионами ^{20}Ne , ^{40}Ar и рассчитанные для ионов ^{136}Xe /15/.

Обсуждение результатов

На рис. 1, где схематически изображена карта изотопов, указаны и различные методы, с помощью которых можно получать изотопы мак-

симально удаленные от области стабильности. На основании результатов, полученных в этой работе, а также других литературных данных можно провести сравнение сечений образования этих изотопов с $Z > 60$ в тех или иных ядерных реакциях. Как уже указывалось выше, нейтронодефицитные ядра в этой области можно получать только в реакциях с тяжелыми ионами, идущими через составное ядро. Реакции скальвания в этой области являются неконкурентоспособными, ввиду меньшего сечения образования сильно нейтронодефицитных продуктов. Реакции передачи типа (НІ, хп, ур) , идущие с тяжелыми ионами в области $80 > Z > 50$, также, как это видно на рис. 5, не дают преимущества в сечении образования как нейтронодефицитных, так и нейтроноизбыточных ядер.

Нейтроноизбыточные ядра в области $55 < Z < 85$ получаются с одинаковыми сечениями как в реакциях деления тяжелых ядер протонами, так и в реакциях деления их тяжелыми ионами. Однако необходимо отметить, что при выборе той или иной реакции сравнение разумно проводить по абсолютному выходу данного изотопа, поэтому, помимо сечения образования, необходимо иметь данные о максимально возможных интенсивностях потока частиц и количестве рабочего вещества, которое может быть получено в облучении.

Толщина мишени во всех случаях (за исключением реакций с тяжелыми ионами) взята равной 1 ммоль ($6 \cdot 10^{20}$ ядер/ см^2). В реакциях с тяжелыми ионами толщина мишени была выбрана равной $10 \text{ мг}/\text{см}^2$.

Для расчета выходов использовались следующие данные по интенсивностям частиц.

<u>Частица</u>	<u>Энергия</u>	<u>Интенсивность</u>
Дейтроны, α -частицы	до 100 МэВ	100 мка

Протоны	680 Мэв	2 мка
Тяжелые ионы от ^{10}B до ^{20}Ne	до 10 $\frac{\text{Мэв}}{\text{нуклон}}$	100 мка
Ионы ^{40}Ar	— — —	10 мка

Таким образом, с учетом абсолютного выхода изотопов реакция деления быстрыми протонами для области $Z > 50$ является предпочтительной из-за возможности использовать большое количество вещества мишени. Однако уже для $Z \approx 65$ сечение образования нейтроноизбыточных изотопов в реакции $^{238}\text{U}(\text{p}, \text{f})$ существенно уменьшается, в то время как для реакции $^{238}\text{U}(\text{Ne}, \text{f})$ ввиду широкого массового распределения осколков ситуация мало отличается от того, что имело место для изотопов иода. С дальнейшим же увеличением Z осколка, как было показано выше (см. рис. 10), сечение образования нейтроноизбыточных изотопов будет уменьшаться, однако при использовании в качестве бомбардирующих частиц более тяжелых ионов ($A > 40$) можно ожидать значительного увеличения ширины изотопных распределений, а следовательно, и выхода нейтроноизбыточных изотопов с большой массовой дисперсией. Для реакции же деления быстрыми протонами единственная возможность увеличить массовую дисперсию – увеличить энергию протона, но как было показано выше, в оптимальных условиях (масса ядра-мишени выбирается такой, чтобы выход данного изотопа был максимальным) сечение реакции и массовая дисперсия слабо зависят от энергии протонов в интервале от 0,5 до 20 Гэв.

Таким образом, для области ядер с $Z > 65$ деление под действием тяжелых ионов является, по-видимому, единственным эффективным методом синтеза нейтроноизбыточных изотопов.

Следует отметить также ряд преимуществ этой реакции. Ввиду больших ионизационных потерь бомбардирующими тяжелой частицы оптимальная толщина рабочего слоя вещества мишени оказывается меньше

пробега осколков. Поэтому основная часть изотопов вылетает из мишени и может быть собрана на коллекторе. Это обстоятельство является весьма важным для последующего анализа короткоживущих продуктов, особенно в том случае, если используется быстрая массовая сепарация.

Кроме этого, как отмечалось выше, деление тяжелых возбужденных ядер открывает большие возможности для синтеза изомеров и изучения их свойств.

И наконец, с ростом массы бомбардирующими частицы этот метод, очевидно, явится одним из эффективных методов получения ядер в предполагаемой новой области стабильности ($Z > 110$), где является принципиальным вопрос получения значительного нейтронного избытка. Оценки сечения образования этих изотопов /15/ в реакциях деления ядер урана ионами Xe были сделаны экстраполяцией полученных в настоящей работе данных в область тяжелых ядер. Согласно этим оценкам, сечение образования элемента $^{298}\text{114}$ в реакции $^{238}\text{U}(\text{Xe}, \text{f})^{298}\text{114}$ должно составлять $5 \cdot 10^{-30} \text{ см}^2$.

Авторы благодарны академику Г.Н. Флерову за внимание и ценные замечания при обсуждении опытных данных. Приносим благодарность нашим товарищам по работе С.А. Карамяну, Б.И. Пустыльнику за помощь в обработке результатов, А.В. Степанову, Т.П. Макаровой и Б.А. Гвоздеву за радиохимические разделения редкоземельных элементов, а также В.В. Гречишному и Со Ки Хвану за помощь в измерениях.

Л и т е р а т у р а

- Г.Н. Флеров. Препринт ОИЯИ, Р7-3617, Дубна, 1967.
- Г.Н. Флеров. УФН, 85, вып. 1, 25 (1968).

3. Г.Н. Флеров. Препринт ОИЯИ, Р7-4199, Дубна, 1968.
4. B.G.Rudstam. Arkiv för fysik. Band, 36, nr.39 (1966).
5. R.D.Macfarlane, A.Sivola. Phys. Rev.Lett., 14, 114 (1965).
6. С.А. Карамян, Ф. Нормуратов, Ю.Ц. Оганесян, Ю.Э. Пенионжкевич, Б.И. Пустыльник, Г.Н. Флеров. ЯФ, 8, вып. 690 (1968).
7. С.А. Карамян, Ю.Ц. Оганесян, Ю.Э.Пенионжкевич, Б.И. Пустыльник. Препринт ОИЯИ, Р7-4024, Дубна, 1968.
8. И.В. Кузнецова, Н.С. Мальцева, Ю.Ц. Оганесян, А.М. Сухов, В.А.Щеголев. ЯФ, 8, 448 (1968).
9. Б.А. Гвоздев, З.А. Гритченко, Т.П. Макарова, Ю.Ц. Оганесян, А.В. Степанов. Препринт ОИЯИ, 6-4351, Дубна, 1968.
10. З.Г. Гритченко, Т.П. Макарова, Ю.Ц. Оганесян, Ю.Э. Пенионжкевич, А.В. Степанов. Препринт ОИЯИ, Р7-4387, Дубна, 1968.
11. Б.А. Гвоздев, С.А. Карапян, Н.С. Мальцева, Ю.Ц. Оганесян, Ю.Э.Пенионжкевич, А.М. Сухов, Б.В. Фефилов, З. Щегловский. Препринт ОИЯИ, 18-3771, Дубна, 1968.
12. C.M.Lederer, I.M.Hollander, I.Perlmutter. Table of Isotopes. Sixth. Edit. John Wiley and Sons. Inc. N.Y.-Lond.-Sidney (1967).
13. A.E.Green. Phys. Rev., 95, 1006 (1954).
14. G.Rudstam, G.Sorensen. J. Inorg.Nucl.Chem., 28, 771 (1966).
15. С.А. Карамян, Ю.Ц. Оганесян. Препринт ОИЯИ, Р7-4339, Дубна, 1968.
16. E.Hagebo. J.Inorg. Nucl. Chem., 29, 2515 (1967).
17. P.C.Stevenson, H.G.Hicks, W.E.Nervik and D.R.Nethaway. Phys. Rev., 111, 886 (1958).

Рукопись поступила в издательский отдел
13 июня 1969 года.

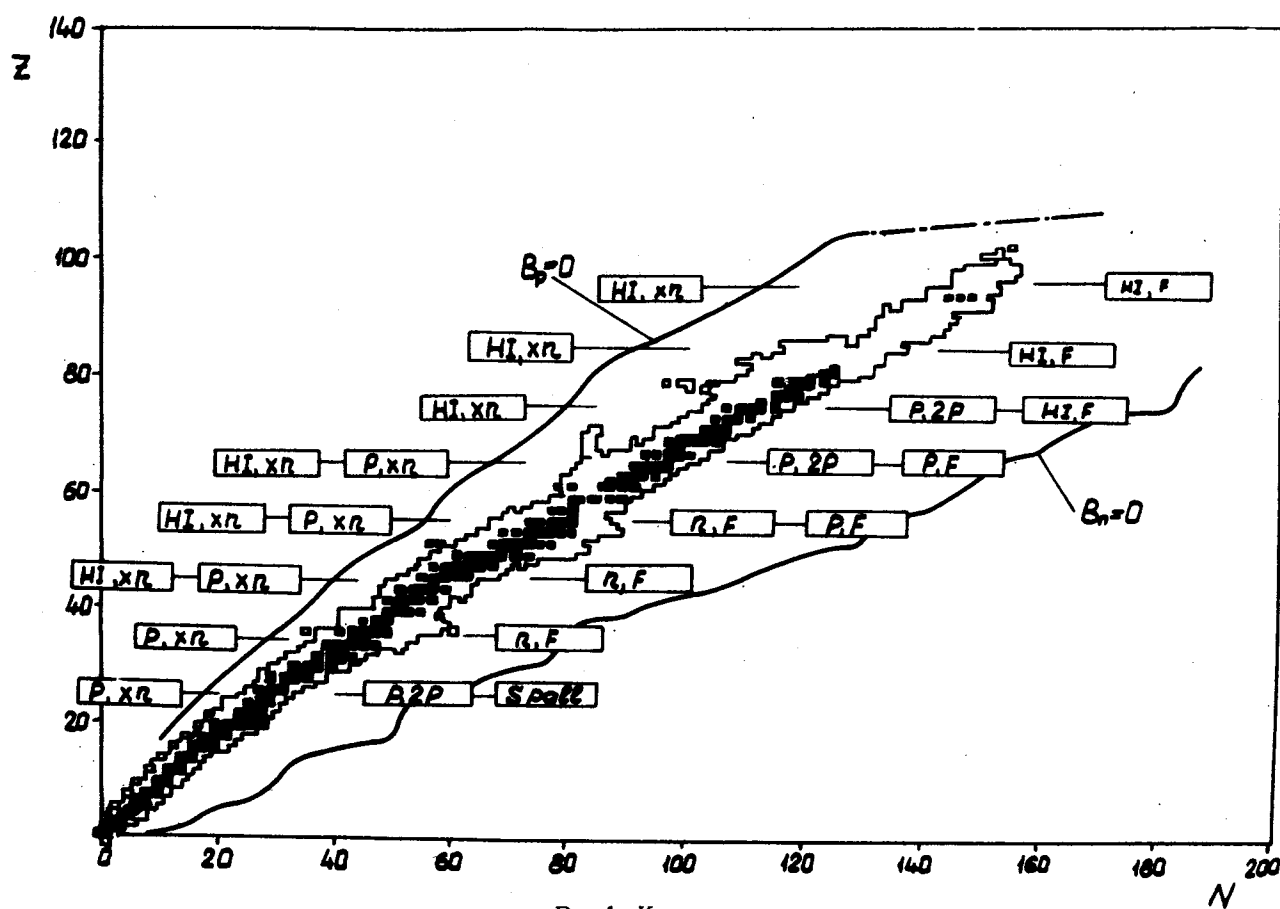
Таблица 1. Сечения образования изотопов в реакциях с тяжелыми ионаами

МАССА	$T_{1/2}$ (мс)	E_g (MeV)	СЕЧЕНИЕ (МИЛЛИБАРНЫ)		МАССА	$T_{1/2}$ (мс)	E_g (MeV)	СЕЧЕНИЕ (МИЛЛИБАРНЫ)			
			$^{238}U(^{197}Ar, f)$	$^{235}U(^{209}Ne, f)$				$^{238}U(^{197}Ar, f)$	$^{235}U(^{209}Ne, f)$		
Mo	90	57	257	0.07	Dr	138	81	290	0.02	5.0	20
	93m	6.95	685	0.27		139	4.5	311	0.05	7.0	40
	99	66.7	740			142	19.2	1572	1.0	12.0	100
	117	1.0	720	0.60		145	6.0	675	3.1	8.0	10.5
	118	144	511	0.05		146	78.2	511	3.6	1.4	
	119	13.9	645	0.10		147	264	333	4.3	9.2	10.0
	119m	112.3	133	0.085		148	18	114	6.2	4.8	7.4
	181	408	508	0.10		149	150	1465	2.0		
	123m	3696	212	0.85		149m	1009	630			
	128	2608	159	2.70		149	53.1	256	2.0	10.0	12.5
Te	129	1.4	465	1.30		150	268	334	4.2	7.5	10.5
	129m	81.8	680	5.80		151	27.8	330	4.6	5.6	7.5
	131	0.41	150	3.35		152	46.8	103	3.5	6.2	8.0
	131m	30	336	1.9		153	84	204	2.8	1.4	3.2
	132	77.7	230	4.4		154	1286	551			
	133m	0.89	438	2.8		155	12.6	334	7.2	4.6	
	134	0.7	170	1.6		155m	15850	105	2.8	6.7	100
	148	0.23	590	0.085		156	370	646	4.8	4.7	8.6
	150	0.50	680	0.2		157	15.1	473	2.3	3.1	6.6
	151	2.12	212	0.4		157m	41	318	0.4	0.36	
J	153	13.3	159	2.0		158	13.8	160	0.22	0.92	
	154	99.6	605	0.065		159	18	363	2.4	3.5	4.0
	156	2.6	306	0.48		160	228	150	0.74	1.2	
	158	12.3	338	6.0		161	48.5	229	0.46	0.28	
	159	193.2	364	6.6		162	385	328	0.48	1.70	
	152	226	773	3.8		163	1483	356	0.34	1.30	
	153	203	530	4.5		164	87	149	0.22	1.1	
	154	857	830	2.9		165	64.7	412	0.40	2.65	
	155	668	1140	1.45		166	75.6	208	0.30	2.2	
	157	62	406			167	0.81	368	0.12	1.5	
Cs	129	32.1	375	0.08		168	1.8				
	132	158	668	2.65		169	5.5				
	134	17920	605	5.45		170	1.2				
	134m	2.89	128	2.1		171	0.44				
	136	329	816	10.5		172	0.09				
	126	1.62	234			173	0.12				
	128	583	511	0.12		174	0.28				
	129	261	182	0.75		175	1.75				
	131	288	126	0.06		176	1.95				
	133m	38.9	276			177	4.60				
Ba	135m	287	268			178	8.70				
	139	1.38	166	10.2		179	12.5				
	140	307	357	8.9		180	8.70				
	140	402	487	2.05		181	10.5				
	141	3.9	145	3.25		182	9.2				
	142	1.54	650	8.85		183	6.2				
	146	170	265			184	1.6				
	147m	34.4	255	0.02		185	1.0				
	147	9.0	446	0.07		186	4.0				
	148	3360	165	1.25		187	7.8				
La	141	780	145	3.8		188	12.0				
	143	33	203	6.5		189	9.0				
	144	6816	134	6.9		190	6.0				
	145	1.54	650	8.85		191	7.2				
	146	170	265			192	5.87				
Ce	147	170	265			193	0.44				
	147m	34.4	255	0.02		194	1.8				
	147	9.0	446	0.07		195	5.5				
	148	3360	165	1.25		196	12.0				
	149	33	203	6.5		197	9.0				
Dy	145	1.54	650	8.85		198	6.0				
	146	170	265			199	7.2				
	147	241	293			200	5.87				
	148	3321	3321			201	0.09				
	149	3321	3321			202	0.09				
At	203	0.44	590			203	0.44				
	207	1.8	576			207	1.8				
	209	5.5	565			209	5.5				
	211	7.2	587			211	7.2				
	212	1.2	590			212	1.2				
W	204	3.6	538			204	3.6				
	206	241	522			206	241				
	208	293	514			208	293				
	210 ^m	3321	531			210 ^m	3321				
	211	3321	531			211	3321				
Ce	205	0.44	590			205	0.44				
	207	1.8	576			207	1.8				
	209	5.5	565			209	5.5				
	211	7.2	587			211	7.2				
	212	1.2	590			212	1.2				
La	203	0.44	590			203	0.44				
	207	1.8	576			207	1.8				
	209	5.5	565			209	5.5				
	211	7.2	587			211	7.2				
	212	1.2	590			212	1.2				
Ce	205	0.44	590			205	0.44				
	207	1.8	576			207	1.8				
	209	5.5	565			209	5.5				
	211	7.2	587			211	7.2				
	212	1.2	590			212	1.2				
Dy	203	0.44	590			203	0.44				
	207	1.8	576			207	1.8				
	209	5.5	565			209	5.5				
	211	7.2	587			211	7.2				
	212	1.2	590			212	1.2				
Ce	205	0.44	590			205	0.44				
	207	1.8	576			207	1.8				
	209	5.5	565			209	5.5				
	211	7.2	587			211	7.2				
	212	1.2	590			212	1.2				
La	203	0.44	590			203	0.44				
	207	1.8	576			207	1.8				
	209	5.5	565			209	5.5				
	211	7.2	587			211	7.				

Таблица 2. Изомерные отношения изотопов Te, полученные в реакциях $^{238}\text{U}(^{22}\text{Ne}, \text{f})\text{Te}$ и $^{238}\text{U}(\text{p}, \text{f})\text{Te}$.

Ядро	Изомерный переход	$^{238}\text{U} + \text{p}(660_{\text{MeV}})$	$^{238}\text{U} + ^{22}\text{Ne}(170_{\text{MeV}})$
^{119m}Te	$\frac{11}{2}^- \rightarrow \frac{1}{2}^+$	4.8 ± 0.7	0.8 ± 0.1
^{121m}Te	$\frac{11}{2}^- \rightarrow \frac{1}{2}^+$	1.65 ± 0.25	≥ 10
^{123m}Te	$\frac{11}{2}^- \rightarrow \frac{1}{2}^+$	0.65 ± 0.10	> 10
^{129m}Te	$\frac{11}{2}^- \rightarrow \frac{3}{2}^+$	1.3 ± 0.2	3.6 ± 0.5
^{131m}Te	$\frac{11}{2}^- \rightarrow \frac{3}{2}^+$	0.47 ± 0.07	0.54 ± 0.07
^{133m}Te	$\frac{11}{2}^- \rightarrow \frac{3}{2}^+$	1.10 ± 0.15	> 10

20



21

Рис.1. Карта изотопов.

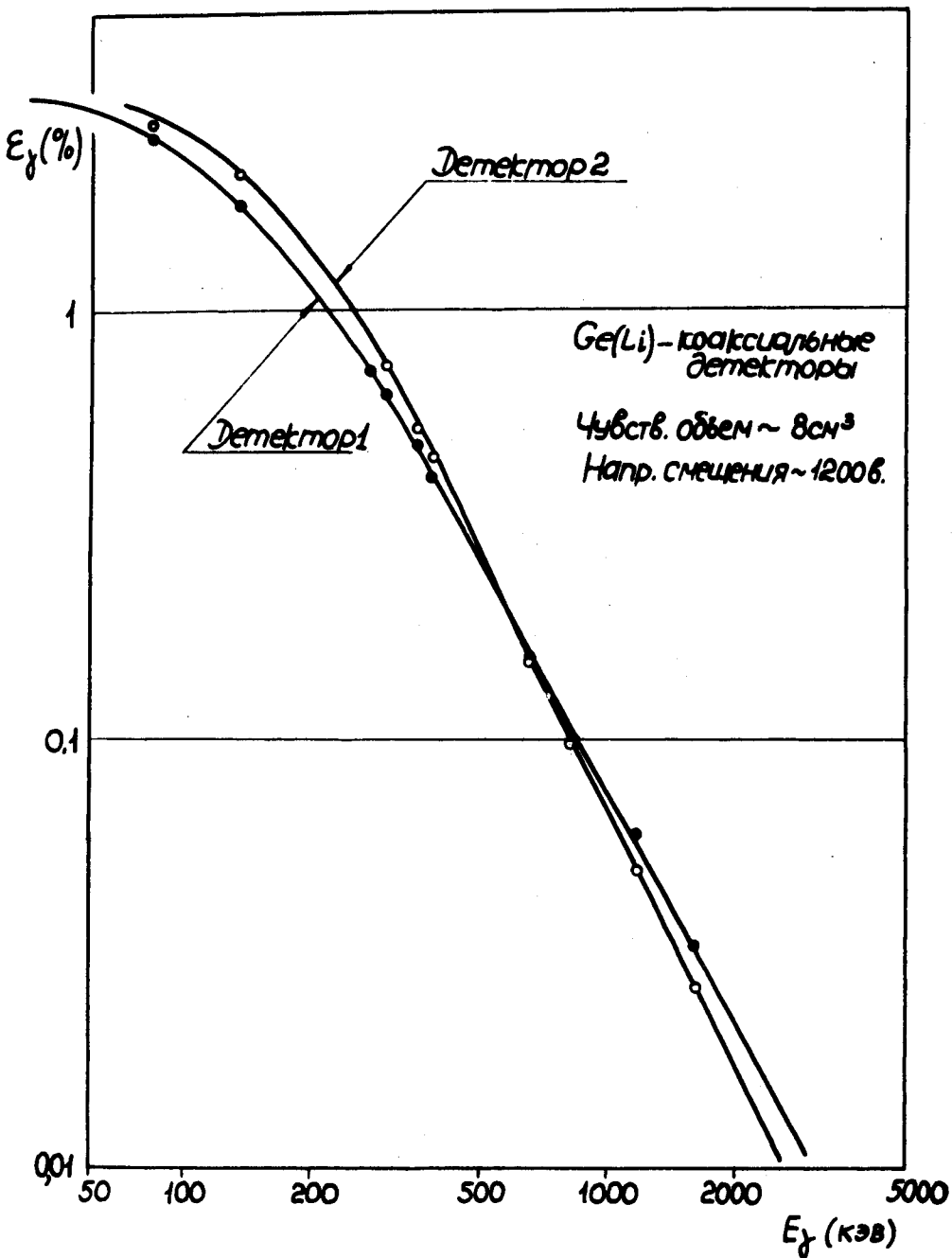
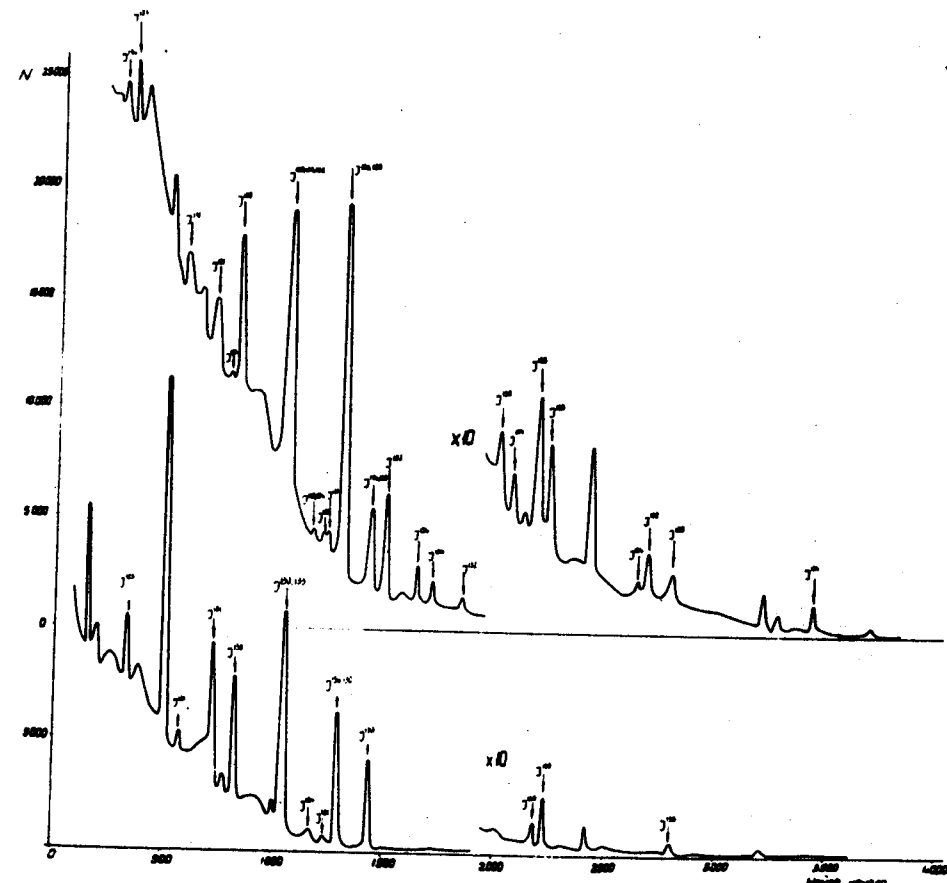
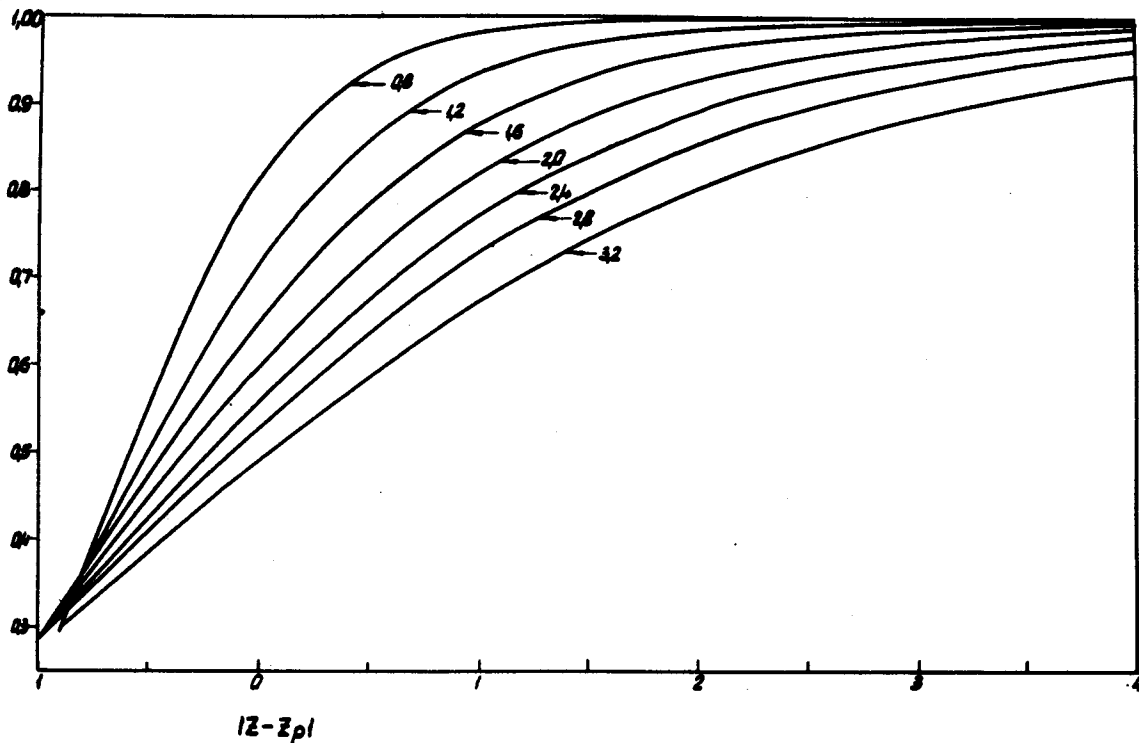


Рис.2. Эффективность двух Ge(Li) детекторов в зависимости от энергии γ -квантов.





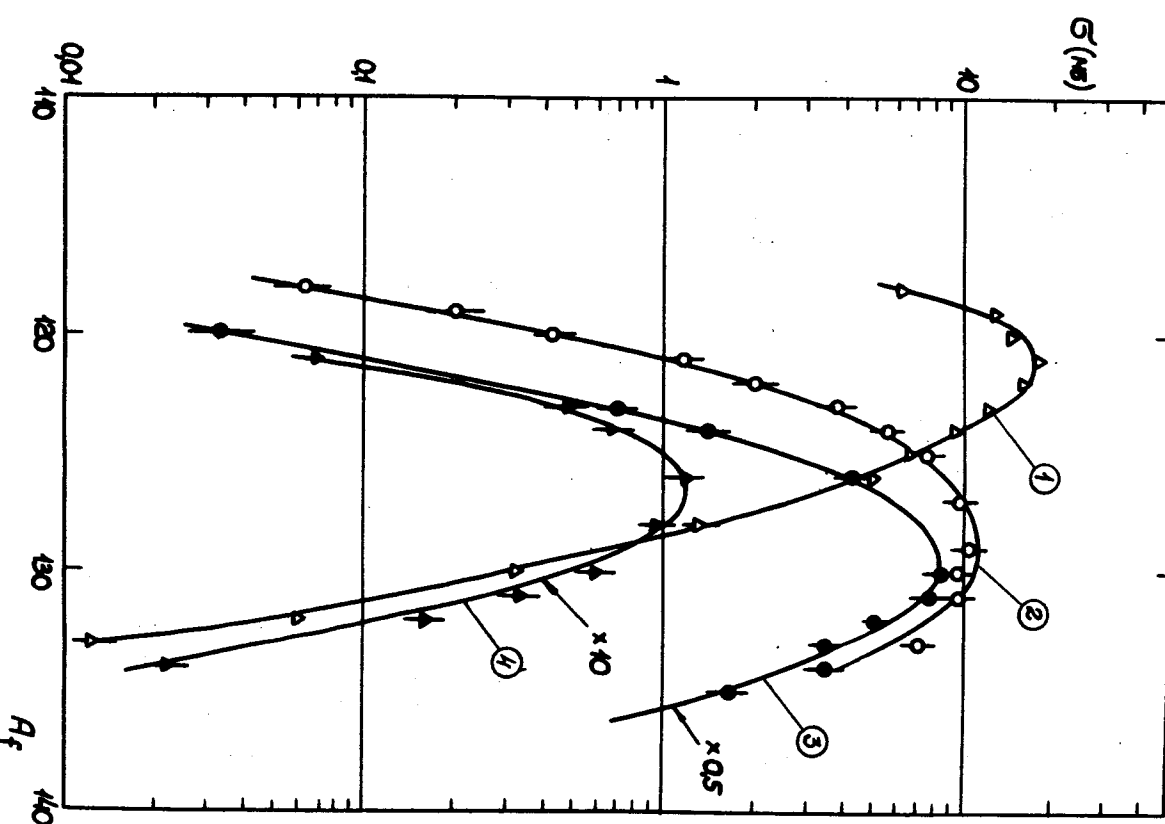
24

Рис.4. Поправки на кумулятивность в зависимости от $|Z - Z_p|$ изотона для значений $0,8 \leq \sigma_z^2 \leq 3,2$. Поправка берется справа от $|Z - Z_p| = 0$, если $Z_f^0 > Z_p > Z_f$ или $Z_f^0 < Z_f < Z_p$, слева — если $Z_f^0 > Z_p > Z_f$ или $Z_f^0 < Z_p < Z_f$ (Z_f^0 — начальный заряд осколка, Z_f — заряд наблюдаемого кумулятивного продукта).

Рис.5. Истотные распределения ядра, образованного в различных ядерных реакциях:

1. $^{136}_{\Lambda}La$ ($p, spallation$) J ($E_p = 500$ МэВ).
 2. $^{235}_{\Lambda}U$ (p, f) J ($E_p = 660$ МэВ).
 3. $^{239}_{\Lambda}U$ (β_2, Ne, f) J ($E_p = 175$ МэВ).
 4. $^{133}_{\Lambda}Cs$ ($\beta_2, Ne, -2p, x_n$) ($E_p = 175$ МэВ).
- (Выходы изотопов в 3 реакции уменьшены в 2 раза, а в последней увеличены в 10 раз).

25



сечение (мб) $\times 0,5$

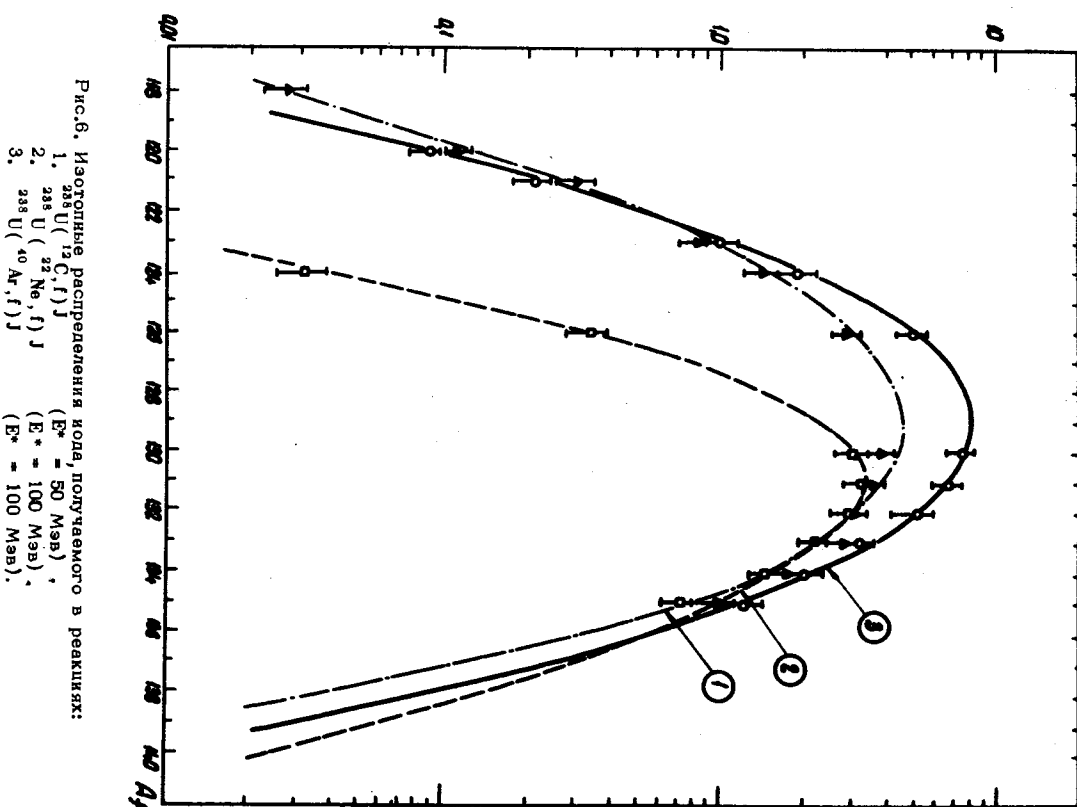


Рис.6. Изотопные распределения ядра, получаемого в реакциях:
 1. $^{238}\text{U}(\text{He}_3, \text{f})\text{J}$ ($E^* = 50$ Мэв),
 2. $^{238}\text{U}(\text{Ne}^{22}, \text{f})\text{J}$ ($E^* = 100$ Мэв),
 3. $^{238}\text{U}(\text{Ar}^{40}, \text{f})\text{J}$ ($E^* = 100$ Мэв).

28

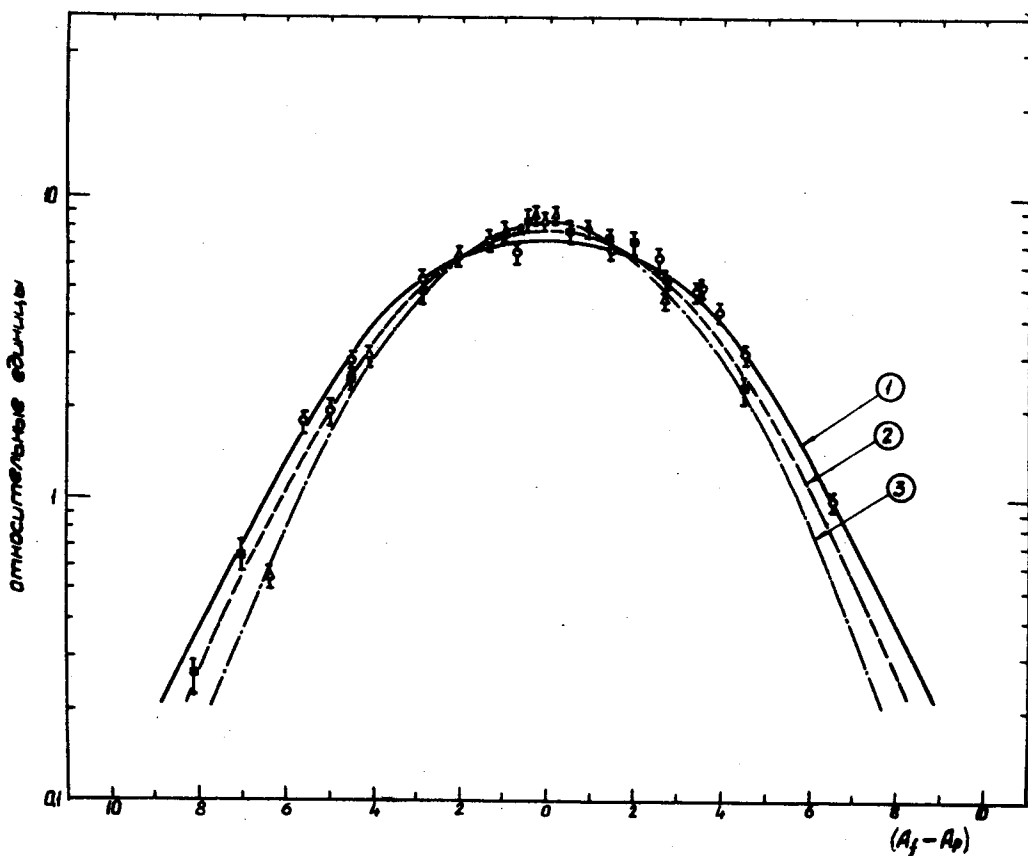


Рис.7. Изотопные распределения редкоземельных элементов для разных энергий налетающего иона ^{20}Ne . 1. $E^* = 115$ Мэв. 2. $E^* = 70$ Мэв. 3. $E^* = 50$ Мэв.

27

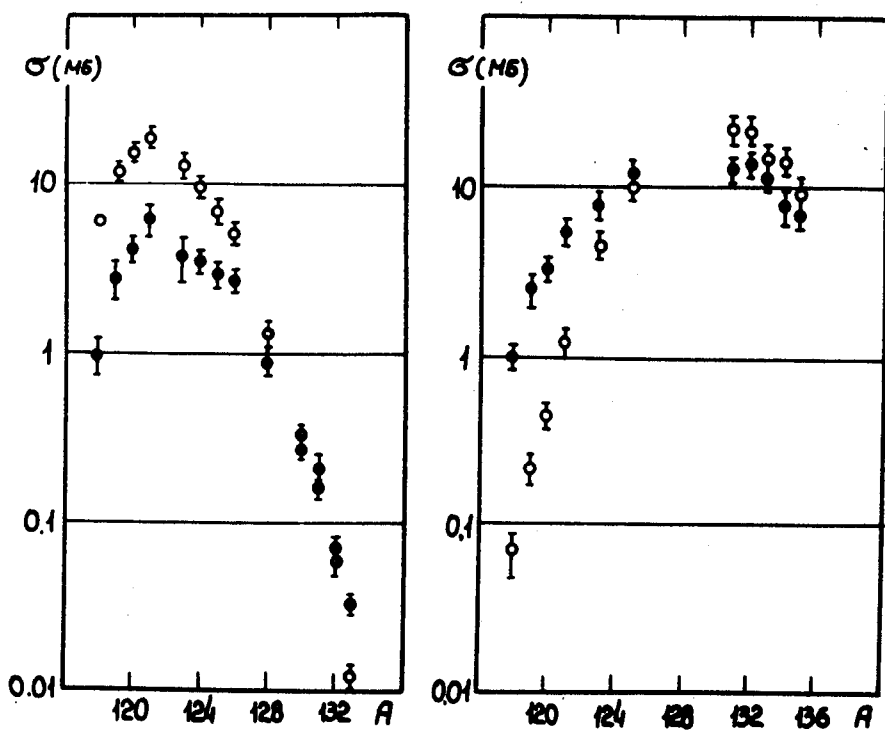


Рис.8. Выходы различных изотопов ртути в реакции скальвания (spallation) при облучении ^{159}La быстрыми протонами - левый график и в реакции деления $^{238}\text{U}(\text{p}, \text{f})$ - правый рисунок /14/. Чёрные точки соответствуют реакциям с энергией протонов 590 МэВ, открытые кружки - с энергией 18 ГэВ.

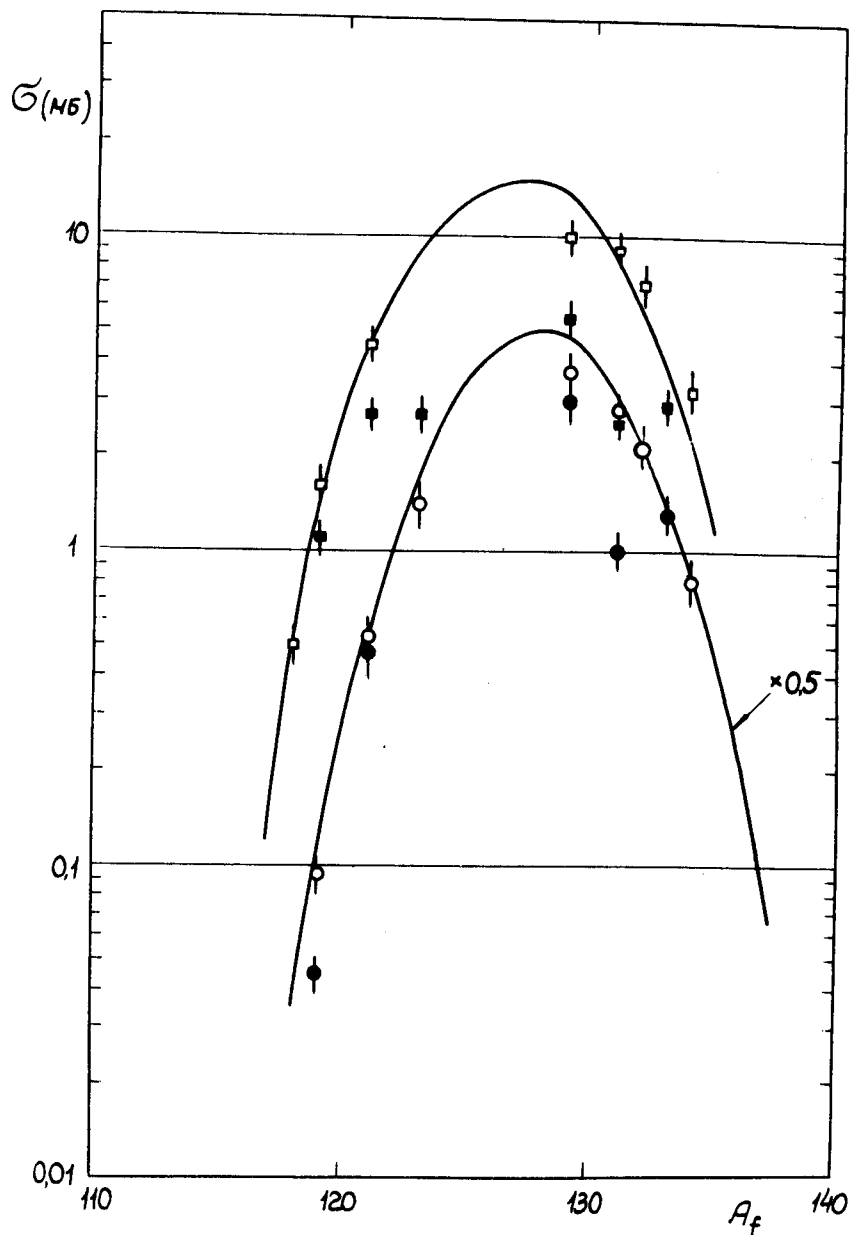


Рис.9. Изотопное распределение Te в реакции. 1. $^{238}\text{U}(\text{p}, \text{f})\text{Te}$.
2. $^{238}\text{U}(\text{p}, \text{f})\text{Te}$ (выходы изотопов уменьшены в 2 раза).
Черными точками и квадратами показаны изомерные состояния, светлыми - основные.

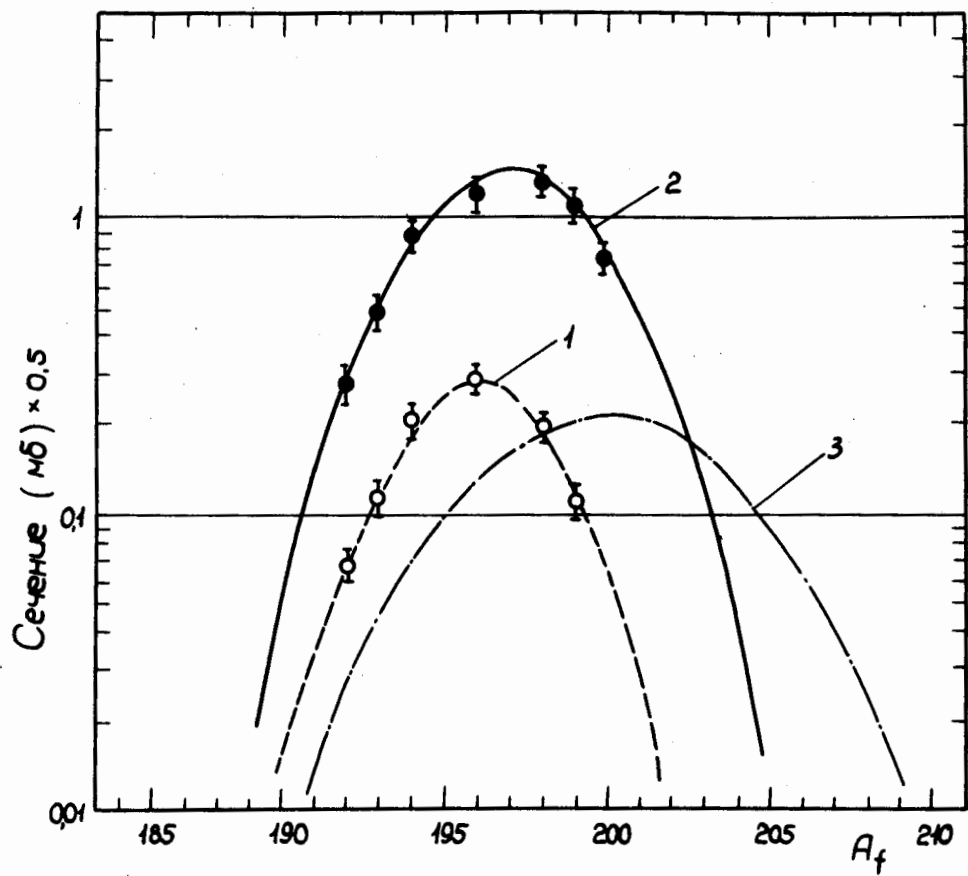


Рис.10. Изотопные распределения золота, полученные при делении ^{235}U ионами ^{20}Ne - 1, ^{40}Ar - 2 и рассчитанные для ^{136}Xe - 3.